

前一个

后一个

本期目录 | 下期目录 | 过刊浏览 | 高级检索

[打印本页] [关闭]

研究报告

NF616和12CrMoV在模拟垃圾气化环境中的高温腐蚀

潘太军¹,陈德贵¹,张轲²,胡静¹

1. 常州大学材料科学与工程学院 常州市高性能金属材料重点实验室常州 213164

2. 沈阳师范大学化学工程学院 沈阳 110034

摘要: 研究比较了600℃时NF616和12CrMoV两种工业钢分别在3种还原性气氛(H₂-CO₂、H₂-HCl-CO₂和H₂-HCl-H₂S-CO₂)中的腐蚀行为。与在H₂-CO₂和H₂-HCl-CO₂气氛中的腐蚀相比, NF616和12CrMoV在H₂-HCl-H₂S-CO₂气氛中发生了加速腐蚀, 尤其是12CrMoV表面氧化铬膜发生退化, 金属的加速腐蚀主要是由腐蚀过程中形成金属硫化物和氯化物所致, 文中依据热力学相图讨论了材料发生加速腐蚀的机制。

关键词: 硫 氯 高温腐蚀 内氧化

HIGH TEMPERATURE CORROSION OF NF616 AND 12CrMoV IN SIMULATED WASTE-GASIFICATION ENVIRONMENTS

PAN Taijun¹, CHEN Degui¹, ZHANG Ke², HU Jing¹

1. Key Laboratory of Advanced Metallic Materials of Changzhou, School of Material Science and Engineering, Changzhou University, Changzhou 213164

2. Department of Chemistry, Shenyang Normal University, Shenyang, 110034

Abstract: The corrosion behavior of two commercial steels NF616 and 12CrMoV was comparatively investigated at 600℃ in H₂-CO₂, H₂-HCl-CO₂ and H₂-HCl-H₂S-CO₂ reducing atmospheres. In comparison with corrosion behavior of the same-type steels in H₂-CO₂ and H₂-HCl-CO₂ reducing atmosphere, NF616 and 12CrMoV suffered from accelerated corrosion in the H₂-HCl-H₂S-CO₂ atmosphere, particularly the degradation of chromia formed on 12CrMoV. The kind of accelerated corrosion was mainly attributed to formation of metal chlorides and sulfides during corrosion procedure. The mechanism on accelerated corrosion is illuminated on the basis of thermodynamic diagrams.

Keywords: sulfur chlorine high temperature corrosion internal oxidation

收稿日期 2010-08-30 修回日期 2010-10-12 网络版发布日期 2011-12-14

DOI:

基金项目:


国家自然科学基金项目(51101023)和常州市工业科技项目(CN20100009)资助

通讯作者: 潘太军

作者简介: 潘太军, 男, 1977年生, 博士, 副教授, 研究方向为材料腐蚀与防护

通讯作者E-mail: tjpan2005@gmail.com

参考文献:

- [1] Spiegel M, Grabke H J. High temperature corrosion of high alloy steels in simulated waste incineration environments[J]. Mater. Corros., 1996, 47: 179-189 
- [2] Miller P D, Krouse H H. The mechanism in high temperature corrosion in municipal incinerators[J]. Corrosion, 1972, 28: 274-281

扩展功能

本文信息

Supporting info

PDF(932KB)

[HTML] 下载

参考文献[PDF]

参考文献

服务与反馈

把本文推荐给朋友

加入我的书架

加入引用管理器

引用本文

Email Alert

文章反馈

浏览反馈信息

本文关键词相关文章

硫

氯

高温腐蚀






内氧化

本文作者相关文章

潘太军

PubMed

Article by Pan, T. J

- [3] Pan T J, Lin Y F, Hu J. Accelerated corrosion behavior of Fe-Al alloys under KCl-ZnCl₂ deposits[J]. J. Chin. Soc. Corros. Prot., 2010, 30: 58-61
- [4] 潘太军, 林一凡, 胡静. Fe-Al合金在KCl-ZnCl₂沉积盐作用下的加速腐蚀行为, 中国腐蚀与防护学报, 2010, 30: 58-61) [浏览](#)
- [5] Li Y S, Niu Y, Wu W T. Corrosion behavior of pure Cr and two Cr-containing alloys beneath ZnCl₂ and KCl-ZnCl₂ deposits [J]. J. Chin. Soc. Corros. Prot., 2002, 22: 27-31
- [6] 李远士, 牛焱, 吴维涛. 纯Cr和两种含Cr合金在ZnCl₂及KCl-ZnCl₂盐膜下的腐蚀, 中国腐蚀与防护学报, 2002, 22: 27-31) [浏览](#)
- [7] Zahs A, Spiegel M, Grabke H J. Chlorination and oxidation of iron, chromium, nickel, and their alloys in chloridizing and oxidizing atmospheres at 400-700 °C [J]. Corros. Sci., 2000, 42:1093-1122 
- [8] Schulte M, Rahmel A, Schutze M. The sulfidation behavior of several commercial ferritic and austenitic steels[J]. Oxid. Met., 1998, 49: 33-70 
- [9] Pan T J, Al-Omary M, Zeng C L, et al. The corrosion of three commercial steels in reducing atmospheres containing HCl and H₂S at 873 K[J]. High Temp. Mater. Proc., 2005, 24: 193-203 
- [10] Pan T J, Gesmundo F, Niu Y. Corrosion behavior of three iron based model alloys in reducing atmospheres containing HCl and H₂S at 600 °C [J]. Corros. Sci., 2007, 49: 1362-1377 
- [11] Li Y S, Niu Y, Liu G. High temperature corrosion of metallic materials in waste incineration environment[J]. Corros. Sci. Prot. Technol., 2000, 12: 224-227
- [12] Hou P Y, Pruner K, Fairbrother D H, et al. Sulfur segregation to deposited Al₂O₃ film/alloy interface at 1000SDC [J]. Scr. Mater., 1999, 40: 241-247
- [13] Hou P Y, Zhang X F, Cannon R M. Impurity distribution in Al₂O₃ formed on an FeCrAl alloy[J]. Scr. Mater., 2004, 50:45-49 

本刊中的类似文章

1. 彭家惠 瞿金东 张建新 邹辰阳 陈明凤. EDTA吸附特性及其对α半水脱硫石膏晶形的影响[J]. 中国腐蚀与防护学报, 2011, 25(6): 566-572
2. 段东霞, 陈西广, 蔺存国. 硫酸盐还原菌模拟生物膜对907A钢腐蚀的影响[J]. 中国腐蚀与防护学报, 2011, 31(6): 453-456
3. 聂金艳, 司云森, 余强, 王招娣. N,N'-二苯基硫脲对Q235钢在酸性介质中的缓蚀作用及其与十二烷基磺酸钠的协同效应[J]. 中国腐蚀与防护学报, 2011, 23(5): 422-426
4. 祁秀玲, 王佳, 陈俊荣, 贾方. 微胶囊技术在缓蚀剂中的应用及产品性能评价(I)[J]. 中国腐蚀与防护学报, 2011, 23(5): 445-448
5. 董月香, 张玮, 杨铁成. 碳酸盐硫化氢复杂环境中16MnR钢应力腐蚀敏感性研究[J]. 中国腐蚀与防护学报, 2011, 23(5): 427-430
6. 杨一凡 曾惠丹 任晶 陈丹平 陈国荣. SO₄²⁻对Mn掺杂硫磷酸盐玻璃结构和发光性能的影响[J]. 中国腐蚀与防护学报, 2011, 25(5): 517-521
7. 龚敏, 张豫, 郑兴文, 冯敏, 张国虎, 杨林. 硫酸介质中含硫氨基酸缓蚀性能研究[J]. 中国腐蚀与防护学报, 2011, 31(5): 341-347
8. 赵蕊, 唐聿明, 熊金平, 左禹. 二乙基二硫代氨基甲酸钠和硫脲对AZ91D镁合金在3.5%NaCl溶液中的缓蚀作用[J]. 中国腐蚀与防护学报, 2011, 23(3): 251-255
9. 黄本生, 卢曦, 刘清友. 石油钻杆H₂S腐蚀研究进展及其综合防腐[J]. 中国腐蚀与防护学报, 2011, 23(3): 205-208
10. 祝英剑, 刘长宇, 王峰, 黄天杰. 油管钢在饱和CO₂模拟油田液中的腐蚀行为研究[J]. 中国腐蚀与防护学报, 2011, 23(3): 271-273